

### III-15 砂のクリープに関する諸物性

撰南大学 工学部  
撰南大学 工学部  
川崎地質(株)

正員 村山 朔郎  
正員 道広 一利  
正員 ○坂上 敏彦

#### 1. まえがき

地盤の変形を適確に予測するためには、土の応力～ひずみ、および時間の関係を明確にする必要がある。そこで今回は、試験材料として、変形中の間げき水圧の変化が少い砂試料を用いて、種々の応力条件下での、排水クリープ試験を行い、土粒子骨格の変形の時間依存性について述べる。

#### 2. 試料および実験方法

試料は、豊浦標準砂の $0.074\text{ mm}$ 以下、 $0.297\text{ mm}$ 以上を取り除いたものを使用した。その砂の粒度分布および、諸物性は、図-1、表-1に示す。供試体は、木で満たしたモールド内に、一定高さより砂を落とさせ、飽和状態のまま凍結し、高さ $12\text{ cm}$ に切断した後、三軸セル内で解凍させた。このようす凍結法による供試体作成は、供試体自体に、凍結・解凍に伴う応力履歴の影響が生じる。その詳細は、現在のところ不明な点が多い。そこで、ここでは、凍結・解凍に伴う応力履歴を、 $\sigma - \log t_m$ 曲線を用いて先行圧密応力として推定し、それより十分に大きいと判断される平均主応力 $\sigma_m$ （今回の場合は $0.9\text{ kgf/cm}^2$ 以上）で、残留体積ひずみが、ほぼ消失するまで、くり返し圧縮を行なったものでクリープ試験の試料とした。これにより、凍結・解凍による応力履歴の影響を取りのぞくとともに、一定の弾性限界を持つ供試体を作成した。

クリープ試験は、三軸圧縮試験機を用い排水条件で行ない、種々の偏差応力を $20\sim30$ 分間載荷し、クリープ中ににおける平均主応力 $\sigma_m$ が一定を保つように、断面補正を行ない、側圧を調節した。また、試験結果は、体積ひずみと/or および軸ひずみより算出したせん断ひずみ $\gamma = \frac{1}{2}(\epsilon_1 - \epsilon_2)$ を用いて整理した。

#### 3. 実験結果とその考察

3-1 応力～ひずみ関係 クリ返し締固めに用いた一定平均主応力 $\sigma_m$ （たとえば $1.5\text{ kgf/cm}^2$ ）下で、種々の偏差応力を載荷した場合の $\sigma - \log t_m$ 関係（ $t$ は経過時間）を図-2a, bに示す。また、他の大きさの一定 $\sigma_m$ 下で行なった $\sigma - \log t_m$ 関係も同様な傾向であった。種々の一定 $\sigma_m$ で求めた $\sigma - \log t_m$ 関係より、 $t=1, 20\text{ min}$ における応力～ひずみ関係を、応力比( $\sigma/\sigma_m$ )を用いて整理すると、それぞれ、図-3, 4となり、それぞれの曲

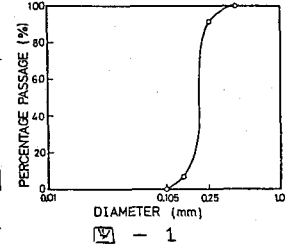


表 - 1

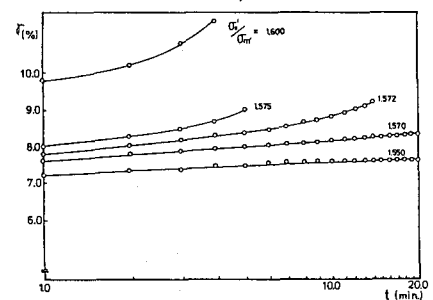


図-2. a

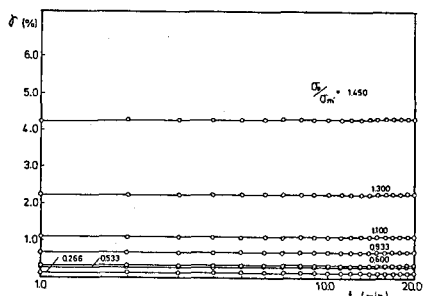


図-2. b

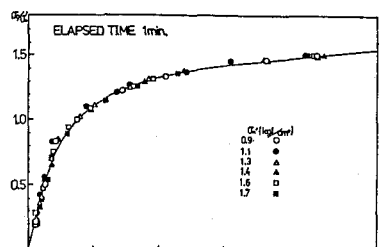


図 - 3

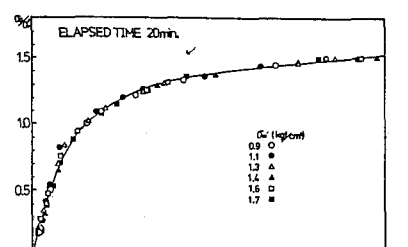


図 - 4

線は、 $\sigma_m$ にかわらず、ほぼ一本の曲線で表わされる。また図-3.4の直線部分を明確にするために、 $\gamma \sim \sigma_m$  関係を両対数紙上にプロットすると図-5.6となり、第一折衷として、近似ではあるが、弾性限界値(粘弾性限界値):( $\sigma_m$ )<sub>el</sub>=0.8)が得られ、平均主応力 $\sigma_m'$ の等方圧り返し履歴によつて、その砂に生じる弾性限界応力( $\sigma_{el}$ )は、 $\sigma_m'$ と一定の割合( $\sigma_m'$ の約80%)を示すことができる。

3-2 各種限界値 図-5.6より $\sigma_m' \sim \frac{d\sigma}{d\log t}$  に整理すると、図-7.8となる。図から $\sigma_m' \sim \frac{d\sigma}{d\log t}$  関係は、第一折衷まで直線性を示し、以後指数的に増大している。この第一折衷は、粘弾性限界値に相当し、その値は、 $\sigma_m' = 0.8$ で図-5.6の折衷と一致している。また、流动曲線 $\sigma_m' \sim \frac{d\sigma}{dt}$  関係(省略)からは、従来より粘性土に見られる下限降伏値は、砂の場合存在しないことが認められる。図-3.4の応力比へひずみ関係の粘弾性限界以上に解析については、村山の誘導した砂の塑性状態の構成式で整理する。 $(\gamma - \gamma_{el}) / \gamma_p = A - K \gamma$  ————— (1)ここに A, K: Constant.

$$\gamma \equiv \sigma / \sigma_m' , \quad \gamma_{el} \equiv (\sigma / \sigma_m)'_{el} , \quad \gamma_p = \gamma - \gamma_{el}$$

図-3から $(\gamma, \gamma_{el}, \gamma_p)$ を求め、(1)式の左辺を縦軸に、応力比を横軸にとると図-9となり、負の傾きを持つ直線を示し、式(1)と同様な関係で表現される。また、ここでクリープ破壊を生じた $\gamma$ - $\epsilon$ スケールを含めて(たとえば $\sigma_m' = 1.5 \text{ kgf/cm}^2$ の場合) $(\gamma - \gamma_{el}) / \gamma_p \sim \gamma$  関係を図-10に示すと、太の直線にかかわらず、図-9と同様負の傾きを持つ直線で示されるが、この場合、 $\sigma_m' = 1.55$ 付近で急に勾配がきつくなる。この折衷は、粘弾塑性域の上限に相当しているので、破壊限界値と考えて差し支えない。また、図-2.からわかるように、 $\sigma_m' = 1.55$ 以上のクリープ曲線は、いずれも凹の曲線を示すとともにクリープ破壊を生じてあり、 $\sigma_m' = 1.55$ が破壊限界値であることがわかる。このように従来からいわれる上限降伏値は、粘弾性限界値を意味し、クリープ破壊の限界とはいえない。

#### 4. あとがき

砂のクリープ特性は、粘弹性、粘弾塑性、破壊の3領域に分類できることができる、それぞれの限界値は、応力比 $\sigma_m'$ で表わせば、3-2で述べたように、一定の値を示し、それらは、このようなクリープ試験によって観測することができます。なお、本実験に多大の協力を得た昭和56年度 摂南大学卒業生 早川清、中西古敷司、菅野泰功君に、謝意を表する。

参考文献 1) S.MURAYAMA : IXICSMFE Constitutive Equation of Soils pp. 183 ~ 199.

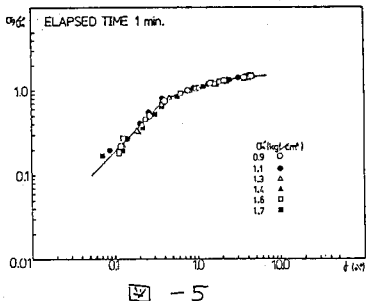


図-5

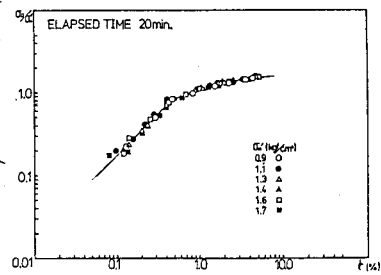


図-6

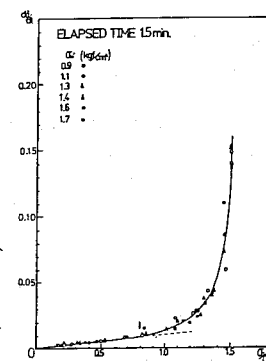


図-7

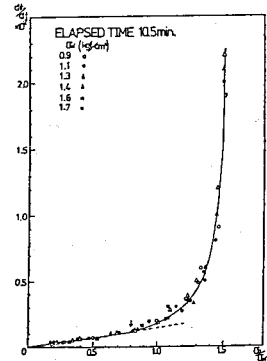


図-8

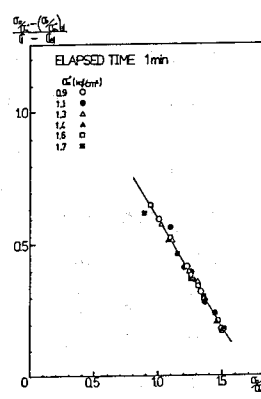


図-9

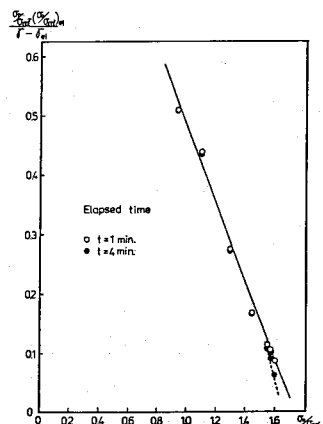


図-10